

СООБЩЕНИЯ
ОБЪЕДИНЕННОГО
ИНСТИТУТА
ЯДЕРНЫХ
ИССЛЕДОВАНИЙ
ДУБНА



С 346,46

С-15

19/и-76

P2 - 9610

2779 /2-76

Р.А.Сакаев, Р.А.Эрамжян

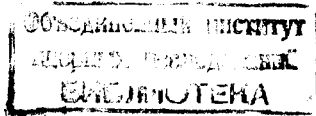
РАДИАЦИОННЫЙ ЗАХВАТ π -МЕЗОНОВ ЯДРОМ ${}^6\text{Li}$

1976

P2 - 9610

Р.А.Сакаев, Р.А.Эрамжян

РАДИАЦИОННЫЙ ЗАХВАТ π -МЕЗОНОВ ЯДРОМ ${}^6\text{Li}$



I. Введение

Характерной чертой процессов фотопоглощения, μ -захвата и радиационного π -захвата в легких ядрах является преимущественное возбуждение коллективных состояний типа дипольного гигантского резонанса. Изучение структуры гигантского резонанса в перечисленных процессах на основе одного и того же подхода позволит глубже понять природу этих состояний и их специфику, связанную с особенностями взаимодействия каждой из перечисленных частиц с нуклонами ядра.

Легкие ядра, и особенно ядра $1p$ -оболочки, обладают ярко выраженным индивидуальными свойствами. Индивидуальные свойства сохраняются и в состояниях гигантского резонанса. Поэтому при теоретическом описании процессов в ядрах $1p$ -оболочки каждое ядро приходится рассматривать отдельно. В настоящей работе в качестве объекта исследования выбрано ядро ^6Li . Возбуждение гигантского резонанса фотопоглощения в этом ядре исследуется уже в течение длительного времени как экспериментально /1-4/, так и теоретически /5-7/. Однако имеющиеся к настоящему времени теоретические и экспериментальные результаты противоречивы и ситуация довольно неопределенная. В значительной степени такая ситуация сложилась из-за того, что расщепление этого ядра носит трехчастичный характер. Анализ экспериментальных данных такого типа встречает большие трудности как теоретического, так и экспериментального характера. Прямые же измерения сечения фотопоглощения отсутствуют.

В последнее время получены /8/ экспериментальные данные о спектре возбуждения промежуточного ядра ${}^6\text{He}$ в процессе ${}^6\text{Li}(\pi^-, \gamma)$. С появлением такой информации появляется возможность прямой проверки предсказаний теории о структуре гигантского резонанса в ядре ${}^6\text{Li}$.

II. Основные моменты расчета

1. Радиационный захват π -мезона

Радиационный захват π -мезона атомными ядрами рассматривался в импульсном приближении. Амплитуда процесса на протоне с учетом членов порядка q/m_π имеет вид

$$f = \frac{\tau^-}{\sqrt{2}} i \{ A \vec{\sigma} \vec{\epsilon}_\lambda + B (\vec{\sigma} \vec{\epsilon}_\lambda) (\vec{k} \vec{q}) + C (\vec{\sigma} \vec{k}) (\vec{\epsilon}_\lambda \vec{q}) + D i \vec{\epsilon}_\lambda (\vec{q} \times \vec{k}) \}. \quad /1/$$

Здесь $\tau^- = \frac{\tau_x - i\tau_y}{\sqrt{2}}$, $\vec{\epsilon}_\lambda$ и \vec{k} - вектор поляризации и импульса улетающего γ -кванта соответственно, \vec{q} - оператор импульса π -мезона, σ - спиновый оператор нуклона. Используются следующие численные значения констант /9/:

$$\begin{aligned} A &= -0,0332 m_\pi^{-1}; & B &= 0,0048 m_\pi^{-3}; & C &= -0,0329 m_\pi^{-3}; \\ D &= 0,0117 m_\pi^{-3}. \end{aligned}$$

Вероятность радиационного захвата π -мезона атомным ядром имеет вид

$$\lambda_{n\ell} = \frac{\left(1 + \frac{m_\pi}{M_N}\right)^2}{\left(1 + \frac{k}{M_N}\right)} \left(\frac{k}{m_\pi}\right) \frac{1}{(2J_i+1)(2\ell+1)} \int d\Omega_k \sum | \langle J_f M_f | M | J_i M_i \rangle |^2, \quad /2/$$

где

$$M = i^{-1} f e^{-ikr} \phi_{n\ell m}(\vec{r}). \quad /3/$$

$\phi_{n\ell m}(\vec{r})$ - волновая функция π -мезона с главным квантовым числом n , орбитальным моментом ℓ и его проекцией m . На эксперименте обычно измеряют выход

$$R = \sum_{n\ell} \frac{\lambda_{n\ell}}{\Lambda_{n\ell}} \omega_{n\ell} \quad /4/$$

γ -квантов, где $\Lambda_{n\ell}$ - полная вероятность захвата π -мезонов ядром, $\omega_{n\ell}$ - силы поглощения. Обычно полагают, что $\frac{\lambda_{n\ell}}{\Lambda_{n\ell}} = \frac{\lambda_{\ell+1,\ell}}{\Lambda_{\ell+1,\ell}}$. Тогда для ${}^6\text{Li}$ будем иметь

$$R = R_s + R_p, \quad /5/$$

где

$$R_s = \frac{\lambda_{1s}}{\Lambda_{1s}} \sum_n \omega_{ns}, \quad R_p = \frac{\lambda_{2p}}{\Lambda_{2p}} \sum_n \omega_{np}. \quad /6/$$

В качестве $\Lambda_{1s} = \Gamma_{1s}/\hbar$ и $\Lambda_{1p} = \Gamma_{1p}/\hbar$ брались экспериментальные значения /10/

$$\sum_n \omega_{ns} = 0,40 \pm 0,09 \quad \text{и} \quad \sum_n \omega_{np} = 0,60 \pm 0,09, \quad /7/$$

а λ_{1s} и λ_{1p} рассчитывались по формуле /2/.

2. Волновая функция π -мезона

Волновая функция π -мезона находилась путем решения уравнения Клейна-Гордона с оптическим потенциалом, полученным в работе /12/. Распределение плотности нуклонов в ядре ${}^6\text{Li}$ описывалось с помощью симметризованного ферми-распределения /13/. При этом предполагалось, что протонные и нейтронные распределения совпадают. Использовались следующие значения параметров распределения: $c = 1,364$ ферми, $t = 0,620$ ферми и $\langle r^2 \rangle^{1/2} = 2,535$ ферми, полученные из анализа экспериментальных данных по рассеянию электронов.

Расчет смещения ΔE и ширины Γ 1s-уровня с параметрами оптического потенциала^{/14/}

$$b_0 = -0,03 \text{ m}^{-1}, b_1 = -0,08 \text{ m}^{-1}, \text{Im } B_0 = 0,04 \text{ m}^{-4},$$

$$c_0 = 0,22 \text{ m}^{-3}, c_1 = 0,18 \text{ m}^{-3}, \text{Im } C_0 = 0,08 \text{ m}^{-6}$$

приводит к следующим значениям этих величин:

$$\Delta E = E_{\text{теор}} - E_{kG} = 0,407 \text{ кэВ},$$

$$\Gamma_{\text{теор}} = 0,134 \text{ кэВ}.$$

Соответствующие экспериментальные данные:

$$\Delta E_{\text{эксп}} = 0,301 \pm 0,003 \text{ кэВ},$$

$$\Gamma_{\text{эксп}} = 0,195 \pm 0,013 \text{ кэВ}.$$

Здесь E_{kG} -собственное значение энергии, получающееся при решении уравнения Клейна-Гордона с точечным кулоновским потенциалом; $E_{\text{теор}}$ - рассчитанное положение уровня с учетом оптического потенциала, конечных размеров ядра и поляризации вакуума.

Заметное расхождение между теоретическими и экспериментальными значениями смещений и ширин уровней не удается устранить путем варьирования в разумных пределах величин t и $\langle r^2 \rangle^{1/2}$. Поэтому при расчете волновой функции π -мезона в 1s-состоянии фиксировалось значение $E = E_{\text{эксп}}$ и $\Gamma = \Gamma_{\text{эксп}}$ и варьировались параметры b_0 и $\text{Im } B_0$ оптического потенциала. При этом оказалось, что

$$b_0 = -0,022 \text{ m}^{-1}; \quad \text{Im } B_0 = 0,053 \text{ m}^{-4}.$$

Для 2p-состояния экспериментальное значение ширины уровня равно $\Gamma_{\text{эксп}}(2p) = 0,015 \pm 0,005 \text{ эВ}$, а теоретическое $\Gamma(2p) = 0,007 \text{ эВ}$. Расхождение теории с экспериментом можно устранить перенормировкой параметра

$\text{Im } C_0$ в оптическом потенциале. При этом квадрат модуля волновой функции π -мезона практически не изменится. Однако отсутствие экспериментальных данных о смещении 2p-уровня не позволяет судить, насколько хорошо описано это состояние.

3. Вероятность μ -захвата и сечение фотопоглощения

Вероятность возбуждения состояний $J^\pi = 0^-, 1^-, 2^-$ и 3^- ядра ${}^6\text{He}$ при захвате мюонов ядром ${}^6\text{Li}$ рассчитывалась на основе обычно используемого гамильтониана мюон-ядерного взаимодействия с учетом скоростных членов /членов, пропорциональных импульсу нуклонов в ядре/^{/15/}. Выражение для вероятности захвата в состояния промежуточного ядра со спином J_f и энергией E_f имеет вид

$$\Lambda_{\mu, f} = 4(\alpha Z)^3 R_\mu \left(\frac{E_{\nu, f}}{m_\mu} \right)^2 \left(\frac{1}{1 + m_\mu/AM} \right)^3 (G \cos \theta_C m_\mu^2)^2 m_\mu M(J_f),$$

^{/8/}

где $E_{\nu, f}$ - энергия, уносимая нейтрино. Величины $M(J_f)$ определяются константами мюон-нуклонного взаимодействия и ядерными матричными элементами. Их явный вид приводится в работе^{/16/}.

Сечение дипольного фотопоглощения рассчитывалось по формуле

$$\sigma(E_\gamma) = \pi^2 \left(\frac{\hbar c}{E_\gamma} \right)^2 \Gamma_\gamma (J_i \rightarrow J_f), \quad /9/$$

где

$$\Gamma_\gamma (J_i \rightarrow J_f) = \frac{16}{9} \pi a \frac{E_\gamma^3}{(\hbar c)^2} B(E1; J_i \rightarrow J_f) \quad /10/$$

и $B(E1)$ есть приведенная вероятность электрического дипольного перехода.

4. Волновые функции состояний ядра ${}^6\text{Li}$

Состояния положительной и отрицательной четности ядра ${}^6\text{Li}$ описываются в рамках модели оболочек с про-

межуточной связью. В случае основного состояния и состояний положительной четности использовались волновые функции, полученные в работе /17/. Функции состояний отрицательной четности получены путем диагонализации гамильтониана остаточного нуклон-нуклонного взаимодействия /который выбирался в виде обменного варианта Розенфельда с гауссовской радиальной зависимостью с глубиной $V_0 = -60 \text{ МэВ}$ / на базисе всех состояний, соответствующих $1\hbar\omega$ -возбуждению. Ложные состояния, обусловленные эффектом центра масс, выделены полностью. Положение одночастичных уровней выбиралось по экспериментальным данным о соседних ядрах: разность одночастичных энергий при этом оказалась равной $\epsilon(\ell) - \epsilon(1p) = 12 \text{ МэВ}$ и $\epsilon(1p) - \epsilon(1s^{-1}) = 24 \text{ МэВ}$, где ℓ означает либо $2s$, либо $1d$. Для фиксирования положения уровней отрицательной четности относительно основного состояния ядра ${}^6\text{Li}$ использовались экспериментальные данные о $(p,2p)$ реакции на ядре ${}^7\text{Li}$: выбивание $1s$ -нуклонов приводит к образованию ядра ${}^6\text{He}$ с конфигурацией $|s^3 p^3 [3]^{22}P : {}^3P_2\rangle$ при энергии $13,5 \text{ МэВ}$ /18/.

Параметр осцилляторной модели полагался равным $r_0 = 1,7$ ферми при расчете вероятности перехода в состояния гигантского резонанса, а для уровней нормальной четности $r_0 = 1,98$ ферми.

III . Результаты расчета

1. Результаты расчета величины R по формулам /2-7/ в случае возбуждения состояний положительной четности приведены в табл. 1. Сравнение с имеющимися экспериментальными данными /они также приводятся в табл. 1/ показывает, что теория достаточно хорошо описывает выход жестких γ -квантов с образованием основного состояния ядра ${}^6\text{He}$. Рассчитанное значение выхода согласуется также с величиной, полученной ранее в работе /19/. Имеется также согласие с экспериментальными данными об образовании ядра ${}^6\text{He}$ в состоянии $J^\pi = 2^+$, $E = 1,80 \text{ МэВ}$.

Таблица 1

Вероятности возбуждения $\lambda_{\text{вл}}$ состояний положительной четности ядра ${}^6\text{He}$ и выхода R жестких γ -квантов при радиационном захвате π^- -мезонов ядром ${}^6\text{Li}$

$J_f T_f$	$E^* {}^6\text{He}, \text{МэВ}$	$\lambda_{1s}^{\text{вл}}, \frac{1}{\text{МэВ}}$	$\lambda_{1p} \cdot 10^4, \frac{1}{\text{МэВ}}$	$R_{1s}, \%$	$R_{2p}, \%$	$R, \%$	$R_{\text{эксп.}}$
0I	0	I, II	0,29	0,23	0,II	0,34	$0,31 \pm 0,04$
	6,75	0,24	0,06	0,05	0,02	0,07	
2I	1,80	0,36	0,20	0,07	0,08	0,16	$0,15 \pm 0,03$
	4,24	0,13	0,II	0,03	0,04	0,07	
II	5,09	0,03	0,00	0,01	0,00	0,01	
Сумма по состояниям положительной четности		I,87	0,67	0,38	0,27	0,65	

Таблица 2 а
Вероятности возбуждения λ_{nl} состояний $J^\pi = 0^-$ и 3^- ядра ${}^6\text{He}$ и выход R жестких γ -квантов

N _ф	J ^π _f	E*(${}^6\text{He}$), МэВ	λ_{1s} эВ	$\lambda_{1p} \cdot 10^4$, эВ	R _s , %	R _p , %	R, %
1	0 ⁻	13,0	0,36	0,04	0,073	0,017	0,090
3	0 ⁻	23,0	0,14	0,02	0,029	0,010	0,039
0 ⁻	*	0,10	0,04	0,022	0,011	0,032	
3	3 ⁻	20,0	0,66	0,32	0,134	0,128	0,262
3 ⁻	*	0,06	0,06	0,015	0,025	0,040	
	Σ	1,32	0,47	0,273	0,191	0,463	

Таблица 2 б
Вероятности возбуждения λ_{nl} состояний $J^\pi = 1^-$ ядра ${}^6\text{He}$ и выход R жестких γ -квантов

N _ф	E*(${}^6\text{He}$), МэВ	λ_{1s} , эВ	$\lambda_{1p} \cdot 10^4$, эВ	R _s , %	R _p , %	R, %
1	10,0	0,12	0,03	0,024	0,010	0,034
2	13,0	0,47	0,15	0,097	0,062	0,159
3	13,5	0,28	0,09	0,057	0,036	0,093
4	15,5	0,95	0,31	0,194	0,124	0,318
5	21,5	0,13	0,04	0,026	0,016	0,041
6	22,5	0,24	0,06	0,049	0,023	0,072
9	29,0	0,16	0,05	0,033	0,022	0,055
*	0,12	0,05	0,023	0,020	0,043	
	Σ	2,47	0,78	0,503	0,310	0,813

Таблица 2в

Вероятности возбуждения λ_{nl} состояний $J^{\pi} = 2^-$ ядра ${}^6\text{He}$ и выход R жестких γ -квантов

N_e	$E^*({}^6\text{He}), \text{ МэВ}$	$\lambda_{1s}, \frac{1}{\text{эВ}}$	$\lambda_{1p} \cdot 10^4, \frac{1}{\text{эВ}}$	$R_s, \%$	$R_p, \%$	$R, \%$
1	II,0	I,04	0,31	0,214	0,I24	0,338
2	13,0	0,20	0,11	0,041	0,042	0,083
6	20,5	0,44	0,09	0,091	0,036	0,I27
7	21,0	0,61	0,15	0,I25	0,060	0,I85
10	29,5	0,40	0,15	0,082	0,062	0,I44
**	0,I4	0,085	0,028	0,029	0,057	
\sum	2,83	0,89	0,581	0,353	0,934	

— —

Таблица 3

Вероятности возбуждения λ_{nl} состояний положительной и отрицательной четности промежуточного ядра ${}^6\text{He}$ и выход R жестких γ -квантов

СОСТОЯНИЯ $\gamma^{\pi} = 0^+, 1^+, 2^+$	$\lambda_{1p}, \frac{1}{\text{эВ}}$	$R_s, \%$	$R_p, \%$	$R, \%$
СОСТОЯНИЯ $\gamma^{\pi} = 0^-, 1^-, 2^-, 3^-$	1,87	0,67	0,38	0,27
СУММА	8,49	2,81	1,74	1,I2
				2,86

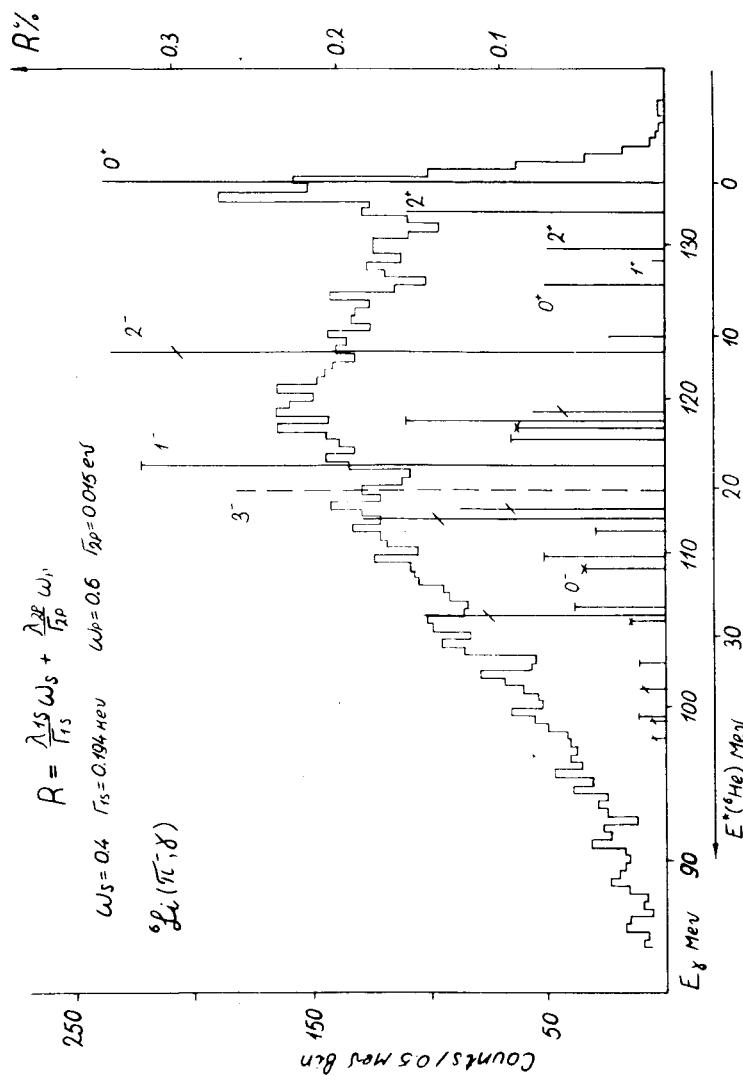


Рис. 1. Выход жестких γ -квантов в процессе радиационного захвата π^- -мезоном ядра ${}^6\text{Li}$.

Результаты расчета величин λ_{nl} и R в случае возбуждения состояний отрицательной четности приведены в табл. 2. В таблицах представлены только наиболее интенсивные переходы/. Вклад слабых переходов просуммирован и дан в строках таблиц, помеченных звездочкой/.

В табл. 3 показаны просуммированные по всем состояниям вероятности возбуждения промежуточных состояний ядра ${}^6\text{He}$ и выход R жестких γ -квантов. Основной вклад приходится на уровни промежуточного ядра ${}^6\text{He}$ со спинами $J^\pi = 2^-$ и 1^- . Экспериментальное значение величины R равно

$$R_{\text{эксп}} = (4,4 \pm 0,6)\%,$$

что заметно превышает величину

$$R_{\text{теор}} = (2,9 \pm 0,6)\%,$$

/11a/

/11b/

полученную путем суммирования по всем состояниям. Приводимая неопределенность величины $R_{\text{теор}}$ обусловлена экспериментальными погрешностями при определении величин ω , $\Gamma_{1s}(\text{abs})$ и $\Gamma_{2p}(\text{abs})$.

Энергетический спектр жестких γ -квантов приведен на рис. 1. Экспериментальные данные представлены в виде гистограммы, а результат расчета - в виде прямых линий. Гросс-структура спектра в целом воспроизводится довольно хорошо. Промежуточная структура спектра в области больших значений $E_\gamma = 115-126$ МэВ /что соответствует малым энергиям возбуждения $E^* = 7-17$ МэВ промежуточного ядра ${}^6\text{He}$ / довольно чувствительна к детальной структуре волновых функций промежуточного ядра ${}^6\text{He}$ в этой области. При меньших значениях энергии E_γ спектр более стабилен и меняется не сильно при варьировании параметров ядерной модели.

2. С теми же самыми параметрами ядерной модели рассчитывалась кривая фотопоглощения и скорость по-

Таблица 4
Сечение фотопоглощения в ядре ${}^6\text{Li}$

J^π		$E^*({}^6\text{Li})$, МэВ	σ_γ , мб·МэВ	Γ , кэВ
0^-	2	17,5	6,5	0,78
	3	27,0	2,7	0,58
	6	33,0	8,1	2,30
	*		1,3	
	\sum		18,6	
1^-	1	14,0	3,3	0,15
	3	17,5	13,2	1,14
	6	26,5	6,4	1,30
	9	33,0	4,7	1,29
	10	35,0	19,0	6,45
	*		5,4	
	\sum		52,0	
2^-	1	15,0	10,1	0,55
	2	17,0	20,1	1,78
	6	24,5	5,3	0,85
	7	25,0	2,4	0,41
	12	36,0	6,5	2,18
	13	37,0	19,8	7,08
	14	39,0	11,3	4,45
	15	40,0	5,5	2,30
	*		2,5	
	\sum		83,5	
Полная сумма			154	

глощения мюонов. Результаты расчетов сечения фотопоглощения приведены в табл. 4 и на рис. 2. Интегральное сечение фотопоглощения до 40 МэВ оказалось равным $\int \sigma_\gamma(E_\gamma) dE_\gamma = 154 \text{ мб} \cdot \text{МэВ}$. В пренебрежении обменными силами из правил сумм следует, что эта величина равна 90 мб · МэВ. Экспериментальное значение ^{/2/} интегрального сечения $\int \sigma_\gamma(E_\gamma) dE_\gamma = 97 \pm 12 \text{ мб} \cdot \text{МэВ}$. Таким образом, как это обычно имеет место в модели оболочек, получено завышенное значение интегрального сечения.

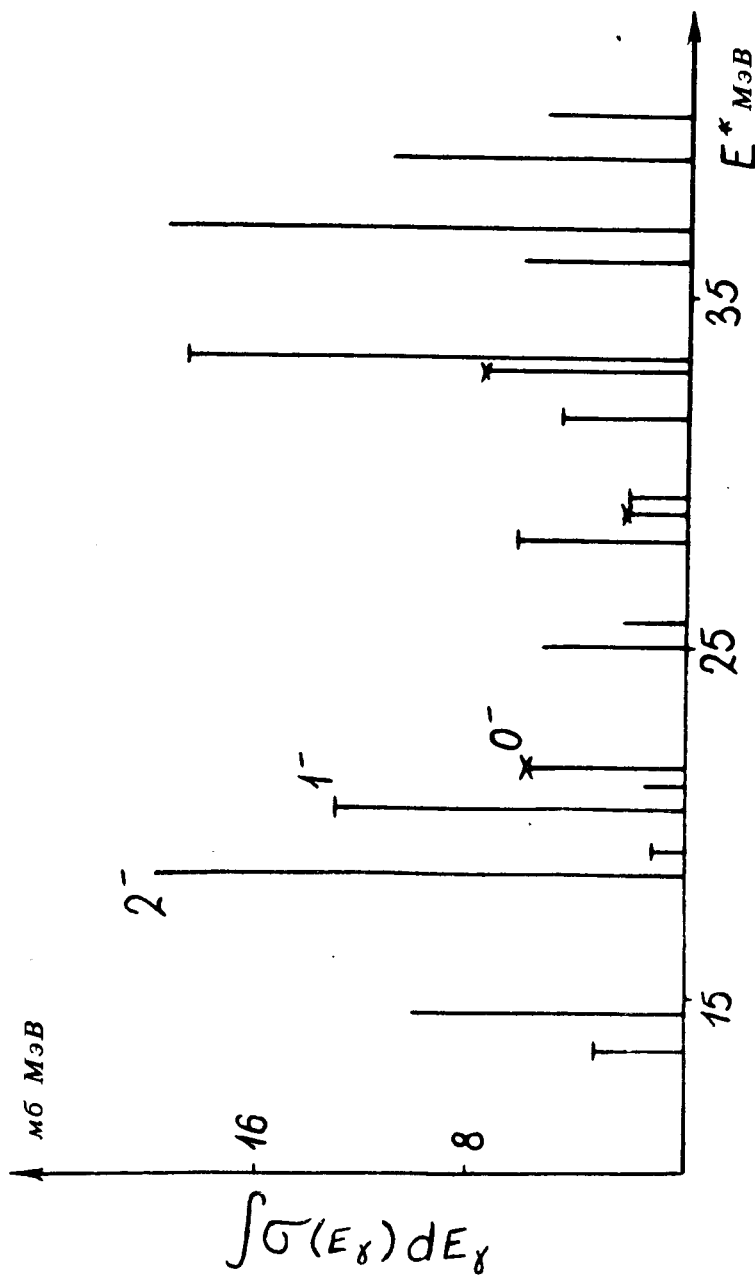
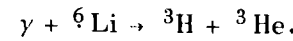
Скорость поглощения мюонов ядром ${}^6\text{Li}$ с возбуждением состояний отрицательной четности промежуточного ядра ${}^6\text{He}$ оказалась равной $\Lambda = 2500 \text{ с}^{-1}$. С учетом перехода в основное состояние полная скорость захвата оказывается равной $\Lambda \approx 4100 \text{ с}^{-1}$. К сожалению, экспериментальное значение полной скорости захвата ^{/21/}

$$\Lambda_{\mu, \text{эксп}} = \begin{cases} 6100 \pm 1400, \\ 5700 \pm 1200 \end{cases}$$

определен с большой погрешностью, что не позволяет критически оценить полученный результат.

3. Рассмотрим детальнее низкоэнергетическую область возбуждения ядер ${}^6\text{Li}$ и ${}^6\text{He}$. На рис. 3 представлены в виде вертикальных линий результаты расчета спектроскопических факторов отделения нуклонов от $1s$ -оболочки из волновой функции основного состояния ядра ${}^7\text{Li}$. Сплошная кривая - измеренное сечение реакции ($p, 2p$) в области энергий 12-20 МэВ ^{/22/}, которое пропорционально рассчитанным спектроскопическим факторам. Как уже отмечалось выше, относительное положение уровней отрицательной четности ядер ${}^6\text{He}$ и ${}^6\text{Li}$ устанавливалось путем совмещения максимума экспериментальной кривой с максимальным спектроскопическим фактором отделения нуклона от $1s$ -оболочки. В результате уровню $J^\pi = (2^-_1, 1)_2$ была приписана энергия 17 МэВ относительно основного состояния ядра ${}^6\text{Li}$ /или 13,5 МэВ относительно основного состояния ядра ${}^6\text{He}$ /.

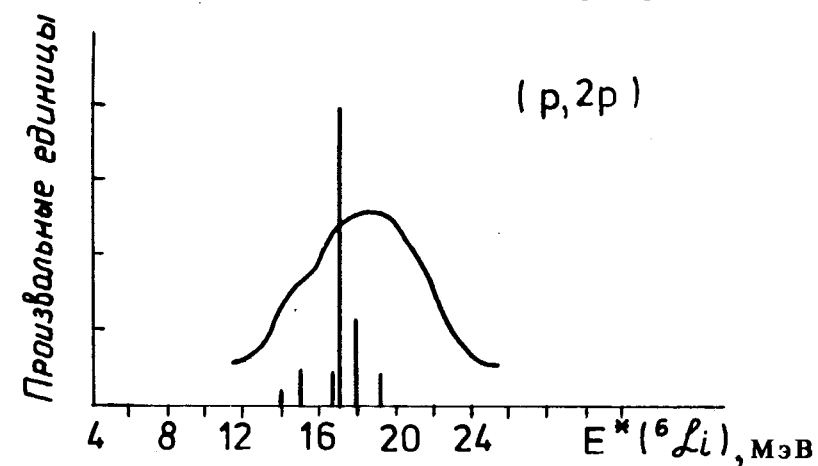
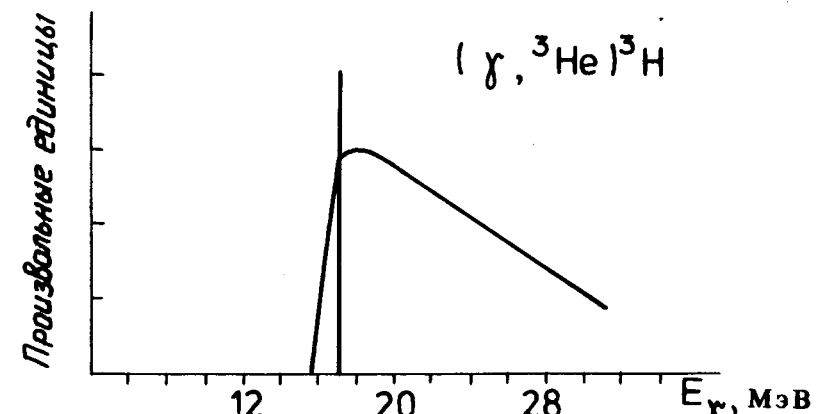
На рис. 3б представлено в виде вертикальной линии интегральное сечение фоторасщепления ядра ${}^6\text{Li}$ по каналу

Рис. 2. Сечение фотоноглощения в ядре ^{6}Li .

/11/

Сплошная кривая - результат измерения^{/3/}. Рассчитанное интегральное сечение по каналу /11/ оказалось равным 9 мб·МэВ и обусловлено распадом состояния $(2^-, 1^-)_2$. Экспериментальное сечение по одним измерениям^{/3/} равно 17 ± 1 мб·МэВ, а по другим^{/4/} - $4,9 \pm 2,5$ мб·МэВ.

На рис. 3в представлено в виде вертикальных линий рассчитанное интегральное сечение фоторасщепления

Рис. 3а. Спектроскопические факторы отделения 1s-нуклона из основного состояния ядра ^{7}Li .Рис. 3б. Спектр ядер ${}^3\text{H}$, образующихся в реакции

/19/

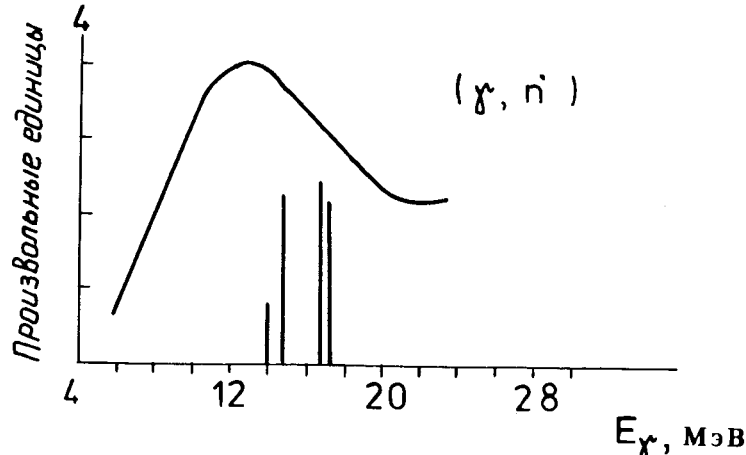


Рис. 3в. Сечение фоторасщепления ядра ${}^6\text{Li}$ по каналу (γ, n) в низкоэнергетической области.

ядра ${}^6\text{Li}$ по каналу (γ, n) . Сплошная кривая - экспериментальное сечение /1/.

Положение рассчитанных уровней, формирующих сечение процесса при низких энергиях, оказалось несколько завышенным. Уменьшением одночастичных энергий состояний $1d$ и $2s$, в принципе, можно понизить положение уровней отрицательной четности, в которых преобладают указанные компоненты, - это $(2^-)_1, (1^-)_1, (2^-)_3, (1^-)_3$ и т.д. При этом положение уровней, в которых преобладает компонента с возбуждением нуклона из $1s$ -оболочки, изменится слабо, т.е. результаты, представленные на рис. 3а и 3б, практически не изменяются.

По этой же причине несколько обедненной оказывается и высокоенергетическая часть спектра γ -квантов в радиационном π -захвате.

Заключение

Как показывают расчеты, гросс-структуры в процессах фотопоглощения и радиационного π -захвата удается понять в рамках традиционного подхода, основанного на модели оболочек с учетом всех состояний, соответ-

ствующих $1\hbar\omega$ -возбуждению. Промежуточная структура спектра оказывается очень чувствительной к параметрам модели. Выделение парциальных каналов расщепления ядра ${}^6\text{Li}$, т.е. каналов с образованием конечных ядер в определенном конечном состоянии, во многом бы способствовало выяснению структуры гигантского резонанса в ядрах ${}^6\text{Li}$ и ${}^6\text{He}$. Примеры такого анализа имеются /2/. Однозначное их выделение в различных процессах позволит получить недостающую информацию, без которой вряд ли можно будет решить вопрос о структуре гигантского резонанса в ядре ${}^6\text{Li}$.

Авторы глубоко признательны Г.Г.Бунатяну за оказанную помощь при построении волновой функции пиона.

ПРИЛОЖЕНИЕ

Основные компоненты волновых функций некоторых состояний отрицательной четности ядра ${}^6\text{Li}$. Схема связи моментов $S + L = J$.

$$\begin{aligned} \psi(2^-)_1 &= -0,665|1p2s: {}^{33}\text{P}> - 0,584|1p1d: {}^{33}\text{P}> + \\ &+ 0,332|1s^{-1}1p^3[3] {}^{22}\text{P}: {}^{33}\text{P}> - 0,242|1p1d: {}^{31}\text{D}>; \\ \psi(2^-)_2 &= 0,912|1s^{-1}1p^3[3] {}^{22}\text{P}: {}^{33}\text{P}> + 0,217|1p1d: {}^{31}\text{D}> + \\ &+ 0,205|1p2s: {}^{33}\text{P}> + 0,180|1p1d: {}^{33}\text{P}>; \\ \psi(2^-)_6 &= 0,613|1s^{-1}1p^3[21] {}^{42}\text{P}: {}^{33}\text{P}> + 0,464|1p1d: {}^{33}\text{P}> + \\ &+ 0,395|1s^{-1}1p^3[21] {}^{24}\text{P}: {}^{35}\text{P}> - 0,351|1p2d: {}^{33}\text{P}> + \\ &+ 0,213|1s^{-1}1p^3[21] {}^{24}\text{P}: {}^{33}\text{P}> - 0,189|1p1d: {}^{31}\text{D}>; \\ \psi(2^-)_7 &= 0,901|1s^{-1}1p^3[21] {}^{24}\text{P}: {}^{35}\text{P}>; \end{aligned}$$

$$\begin{aligned}
\psi(2^-)_{10} = & \quad 0,878 |1s^{-1} 1p^3 [2l]^{22} P: ^{33}P> + \\
& + \quad 0,282 |1s^{-1} 1p^3 [2l]^{42} P: ^{33}P> - 0,230 |1p1d: ^{33}P>; \\
\psi(1^-)_1 = & \quad 0,594 |1p2s: ^{31}P> - 0,443 |1p2s: ^{33}P> - \\
& - \quad 0,421 |1p1d: ^{31}P> - 0,328 |1p1d: ^{33}P> + \\
& + \quad 0,299 |1s^{-1} 1p^3 [2l]^{42} P: ^{31}P> + \\
& + \quad 0,229 |1s^{-1} 1p^3 [3]^{22} P: ^{31}P>; \\
\psi(1^-)_2 = & \quad 0,831 |1s^{-1} 1p^3 [3]^{22} P: ^{33}P> - 0,332 |1p2s: ^{33}P> - \\
& - \quad 0,259 |1p2s: ^{31}P> - 0,243 |1p1d: ^{33}P>; \\
\psi(1^-)_4 = & \quad 0,615 |1p1d: ^{31}P> + 0,605 |1s^{-1} 1p[3]^{22} P: ^{31}P> - \\
& - \quad 0,356 |1p2s: ^{33}P>.
\end{aligned}$$

8. H.W.Baer, J.A.Bistirlich, K.W.Crowe et al. *Phys. Rev.*, C8, 2029 (1973).
9. W.Maguire and C.Werntz. *Nucl.Phys.*, A205, 211 (1973).
10. G.Backenstoss. *Nucl.Phys.*, B66, 125 (1973).
11. W.W.Sapp Jr., M.Eckhouse, G.H.Miller and R.E.Welsh. *Phys.Rev.*, C3, 690 (1972).
12. M.Ericson, T.E.O.Ericson. *Ann. of Phys.*, 36, 323 (1966);
M.Krell, T.E.O.Ericson. *Nucl.Phys.*, B11, 521 (1969).
13. V.V.Burov, Yu.N.Eldyshev, L.K.Lukyanov, Yu.S.Pol. *Preprint E4-8029, JINR, Dubna*, 1974.
14. G.Backenstoss. *Ann.Rev.Nucl.Sci.*, 20, 467 (1970);
Г.Бакенстосс. УФН, 107, 405 /1972/.
15. A.Fujii, H.Primakoff. *Nuovo Cimento*, 12, 327 (1959).
16. V.V.Balashov, R.A.Eramzhyan. *Atomic Energy Review*, vol. 3 (1967).
17. F.C.Barker. *Nucl.Phys.*, 83, 418 (1968).
18. F.Ajzenberg-Selove and T.Lauritsen. *Nucl.Phys.*, A227, 1 (1974).
19. B.B. Карапетян, Г.Я. Коренман, В.П. Попов.
V International Conf. High Energy Physics and Nuclear Structure, Uppsala, 1973, Contributed papers, p. 154.
20. J.D.Vergados. *Nucl.Phys.*, A220, 250 (1974).
21. M.Eckhouse, T.A.Filippas, R.B.Sutton, R.E.Welsh. *Phys.Rev.*, 132, 422 (1963); *Nucl.Phys.*, 81, 575 (1966).
22. H.Tyren, S.Kullander, O.Sundberg et al. *Nucl.Phys.*, 79, 321 (1966).

Литература

1. B.L.Berman, S.C.Fultz. *Rev.Modern.Physics*, 47, 713 (1975).
2. В.П.Денисов, Л.А.Кульчицкий, И.Я.Чубуков. Изв. АН СССР, сер.физ., 37, 107 /1973/.
3. Y.M.Shin, D.M.Scopik, J.J.Morphy. *Phys.Lett.*, 55B, 297 (1975).
4. N.K.Sherman, J.E.Baglin, R.O.Owens. *Phys.Rev.*, 169, 771 (1968).
5. Р.А.Эрамжян. Изв. АН СССР, сер.физ., 28, 1181 /1964/.
6. I.V.Kurdyumov, Yu.F.Smirnov, K.V.Shitikova, S.Kh.El Samarai. *Phys.Lett.*, 31B, 163 (1970).
7. B.S.Cooper, J.M.Eisenberg. *Nucl.Phys.*, A114, 184 (1968).
J.D.Vergados. *Nucl.Phys.*, A239, 271 (1975).

Рукопись поступила в издательский отдел
16 марта 1976 года.